

برنامه‌ریزی زمانبندی خط تولید در صنعت نساجی با استفاده از روش الگوریتم ژنتیک فازی

محمد حسین فاضل زرنده - دانشگاه صنعتی امیرکبیر
محمد اسماعیلیان - ، دانشگاه صنعتی امیرکبیر

چکیده:

در این مقاله یک سیستم خبره فازی برای سیستم تولید صنعت نساجی با بکاربردن تجزیه تحلیل خوشبندی فازی ارایه می‌شود. سیستم پیشنهادی اندازه‌ی شاخص زمان شناوری (flow time) برای سفارش‌های کاری جدید، هنگامی که این سفارش‌ها تحت قواعد فعلی فرآیند می‌شوند، را پیش‌گویی می‌کند. در روش مدلسازی سیستم فازی از الگوریتم‌های ژنتیک (GAs) که از ابزارهای بهینه‌سازی است، به منظور تعیین نوع و مقدار بهینه‌ی پارامترهای مورد نیاز مدل استفاده شده است. روش پیشنهاد شده شامل دو فاز است. فاز نخست با آموزش بدون نظارت توسعه داده می‌شود و شامل یک طراحی مبنا به منظور شناسایی یک سیستم فازی نمونه است. در این فاز از روش تجزیه تحلیل استفاده می‌شود. برای تعیین مقادیر بهینه‌ی پارامترهای خوشبندی، یعنی، توان وزنی (m) و تعداد خوش‌ها (c)، الگوریتم‌های ژنتیک به کاربرده می‌شود. در دومین فاز، فرآیند تطبیق به منظور تنظیم پارامترهای شناسایی شده در فاز مبنا، با توجه به آموزش با نظارت انجام می‌شود. این فاز با بکاربردن روند استدلال تقریبی انجام می‌شود. پارامترهای استدلال تقریبی نیز با بکاربردن الگوریتم ژنتیک بهینه می‌گردند. در آخر روش پیشنهادی با بکاربردن آن در سیستم زمانبندی یک کارگاه نساجی و مقایسه آن با سیستم فازی از نوع سوگنو، که خوشبندی کاهشی را در مرحله شناسایی ساختار بکار می‌برد، اعتبارستجوی می‌شود. نتایج نشان می‌دهد که سیستم فازی پیشنهاد شده رفتار سیستم‌های تولید پیچیده مانند صنایع نساجی را بهتر نشان می‌دهد.

کلمات کلیدی:

آموزش با نظارت و بدون نظارت، تجزیه تحلیل خوشبندی فازی، الگوریتم ژنتیک فازی، صنعت نساجی، زمانبندی فازی

۱- مقدمه

سیستم‌های تولید صنایع نساجی شامل عملیات‌های چندمحصولی مانند تولید نخ، بافندگی، رنگرزی، چاپ، تکمیل و تولید لباس هستند. در این سیستم‌ها، ترکیب تولید براساس انبار (make-to-stock) و تولید بر اساس سفارش (make-to-order)، مسئله زمانبندی را خیلی سخت می‌نماید. به عبارت دیگر، خصوصیات مخصوص ذکر شده در بالا موجب می‌شود، کنترل تولید، برنامه‌ریزی تولید و زمانبندی کارگاه‌های نساجی امری مشکل باشد [۱]. المغربی و کارنوب [۲] (Almaghraby, Karnoub) مسئله برنامه‌ریزی تولید و زمانبندی در یک کارخانه نساجی را مانند مسئله برنامه‌ریزی تولید و زمانبندی در یک کارگاه گردش کاری ترکیبی^۱ (بعضی اوقات تحت عنوان کارگاه گردش کاری انعطاف‌پذیر، یا فرآیند سری / موازی نیز اشاره می‌شود) مدل کرده‌اند. گوپتا [۳] نشان داده است، مسائلی که کارگاه گردش کاری ترکیبی نامیده می‌شوند NP-complete هستند. مسئله زمانبندی یک کارگاه رنگرزی- چاپ- تکمیل می‌تواند به صورت یک مسئله زمانبندی کارگاه گردش کاری ترکیبی مدل شود و بنابراین جزو مسائل NP-complete است [۴]. بنابراین تجربه‌ی انسان نقش کلیدی در حل این نوع مسائل دشوار دارد.

^۱hybrid flowshop

هوش مصنوعی و سیستم‌های خبره ابزار مناسبی برای فائق‌شدن بر پیچیدگی بعضی مسائل زمانبندی مانند کارگاه‌های گردش کاری نساجی هستند. در این صنعت، متخصصین با بکاربردن قواعد تجربی می‌توانند به بهینه‌نمودن کارگاه رنگرزی-چاپ-تکمیل کمک نمایند. این مورد به ایده‌ی روشن زمانبندی که رفتار متخصصین را تقلید می‌کند، منجر می‌شود. مقاله‌ها تنوع وسیعی از تکنیک‌هایی بر اساس هوش را برای زمانبندی سیستم‌های تولیدی پیشنهاد می‌کنند. امروزه سیستم‌های منطق فازی (FLS)، شبکه‌های مصنوعی (ANN)، الگوریتم‌های ژنتیک (GAs)، هوش مصنوعی (AI) و سیستم‌های ترکیبی بسیاری در زمانبندی پیشرفت‌ه استفاده می‌شوند. از نقطه نظر کلی، این تکنیک‌هایی بر اساس هوش، انعطاف‌پذیری زمانبندی در یک کارگاه رنگرزی-چاپ-تکمیل را افزایش می‌دهند و می‌توانند عملکرد کلی سیستم را بهبود دهند.

در این مقاله هدف، مدل کردن سیستم زمانبندی یک کارگاه رنگرزی-چاپ-تکمیل و تجزیه تحلیل اثرات متقابل فازی متبادره‌ایی که این سیستم زمانبندی و اندازه‌ی کارآی آن را تحت شرایط عملیاتی فعلی تحت تاثیر قرار می‌دهند، با روش پیشنهادی اندازه‌ی شاخص زمان شناوری (flow time) برای سفارش‌های کاری جدید را هنگامی که این سفارش‌ها تحت قواعد فعلی فرآیند می‌شوند را پیش‌گویی می‌کند. ترکسن و فاضل زرندی [۵] (Turksen, Fazel Zarandi) ادعا نموده‌اند که به طور معمول ساختار واقعی قواعد عملیاتی در زمانبندی به علت پیچیدگی اثرات متقابل تعداد زیادی از متغیرها و روش‌های مختلفی که به‌وسیله‌ی زمانبند استفاده می‌شوند، مخفی هستند. آن‌ها همچنین ادعا نموده‌اند که این اثرات متقابل به خوبی با روش‌های قطعی قابل توصیف نیستند و به طور معمول الگوهای فازی و غیرخطی را به میزان زیاد نشان می‌دهند، که می‌تواند از طریق شناسایی ساختار سیستم فازی استخراج شوند. روش مدلسازی سیستم فازی پیشنهاد شده در این تحقیق شامل دو فاز است. فاز نخست با آموزش بدون نظارت توسعه داده شده و شامل یک طراحی مبنای بهمنظر شناسایی موثر یک سیستم فازی نمونه برای سیستم هدف از مجموعه داده‌های ورودی-خروجی آموزشی است (شناസایی ساختار). در دومین فاز، فرآیند تطبیق به منظور پارامترهای شناسایی شده در طراحی مبنای با توجه به آموزش بانظارت برای یک مجموعه از داده‌های ورودی-خروجی آموزشی انجام می‌شود. این فاز با به کار بردن استدلال تقریبی انجام می‌شود.

این تحقیق روش سوگنو و یاسوکاوا [۶] (Sugeno- Yasukawa) را برای شناسایی ساختار به کار می‌برد. بنابر روش آن‌ها، ابتدا داده‌های خروجی از طریق روش خوشبندی فازی، خوشبندی می‌شوند. سپس خوشبندی فازی خروجی بر روی فضای ورودی به منظور انتخاب موثرترین متغیرهای ورودی تصویر می‌شوند. در این مرحله قواعد اگر-آنگاه ساخته می‌شوند. موثرترین الگوریتم‌های خوشبندی فازی عبارتند از: (الف) توان وزنی (m) که میزان فازی بودن را تعیین می‌کند و (ب) تعداد خوشده‌ها (c). در این مقاله الگوریتم ژنتیک به منظور تعیین مقادیر بهینه این پارامترها به کار برده می‌شود. تابع برآزش بر مبنای اندیس اعتبارسنجی اصلاح شده‌ی فوکویاما-سوگنو است که اندازه فاصله ماهالانوبیس (Mahalanobis) در آن استفاده شده است. باید توجه شود که در استدلال تقریبی، چندین فاکتور باید بهینه شوند: t -نرم، S -نرم، پارامترهای مدل‌های زبانی و پارامتر غیرفازی نمودن. در این تحقیق این فاکتورها نیز با استفاده از الگوریتم ژنتیک بهینه می‌شوند. تابع برآزش در این فاز ریشه‌ی میانگین مربع خطأ^۱ (RMSE^۱) است.

در این تحقیق، در بخش ۲ زمانبندی کارگاه رنگرزی-چاپ-تکمیل ارائه می‌شود. بخش ۳ روش پیشنهادی را توضیح می‌دهد. در بخش ۴ بکارگیری روش پیشنهادی در کارگاه رنگرزی-چاپ-تکمیل بحث می‌شود. بخش ۵ مقایسه روش پیشنهادی با مدلسازی سیستم فازی از نوع سوگنو با الگوریتم خوشبندی کاهاشی را ارائه می‌دهد. در آخر، در بخش ۶ بحث و کارهای آینده بیان می‌شود.

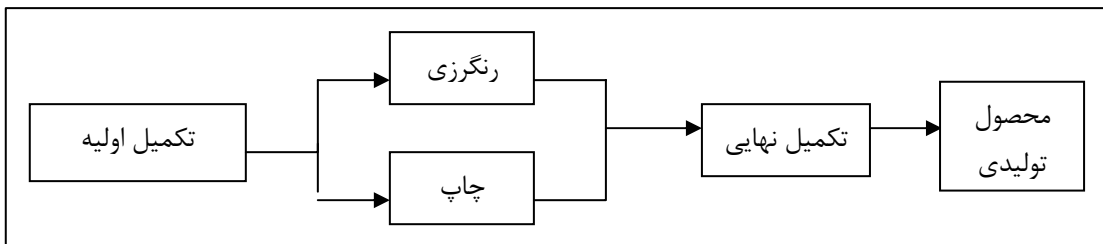
۲- زمانبندی کارگاه رنگرزی-چاپ-تکمیل

یک کارگاه رنگرزی-چاپ-تکمیل به طور معمول همان‌گونه که در شکل ۱ نشان داده شده شامل چهار ایستگاه کاری: تکمیل اولیه، رنگرزی، چاپ و تکمیل نهایی است و در نهایت محصولات: پارچه سفید تکمیل شده، پارچه رنگ شده و پارچه چاپ شده تولید می‌شوند. با توجه به نوع پارچه‌ها و یک یا دوچری بودن نخ‌هایی که در پارچه استفاده شده است، فرآیندهای رنگرزی و تکمیل می‌توانند مراحل مختلفی را شامل شوند. در کارگاه رنگرزی-چاپ-تکمیل که تحقیق در آن جا انجام شده است، مواد اصلی عبارتند از: تار و پود پنبه، پلی‌استر-پنبه و پلی‌استر-ویسکوز. به علاوه عمليات‌های مختلفی ممکن است با توجه به سفارش مشتری انجام شوند. خروجی تکمیل اولیه، ورودی به ایستگاه‌های کاری رنگرزی، چاپ و تکمیل نهایی است. بنابراین، عدم وجود کارآیی در تکمیل اولیه بر روی بازده دیگر عملیات‌های فیزیکی و شیمیایی تاثیر می‌گذارد. عملیات‌های مختلف ممکن است یا بر روی فقط یک ماشین انجام شوند، مانند شستشو، سفیدگری و غیره، یا بر روی ماشین‌های موازی، مانند تثبیت حرارتی و خشک کردن و فرآیند تکمیل نهایی، که بر روی دو ماشین استنتر انجام می‌شوند.

در این جا اهداف اصلی سیستم زمانبندی عبارتند از:

^۱Root Mean Square Error

- (۱) ماکریم نمودن بهرهوری سیستم
- (۲) حفظ کیفیت بالا
- (۳) ماکریم نمودن تحويل بهموقع
- (۴) می نیم نمودن تفاوت شید بین سفارش های رنگرزی متواالی که تحت عملیات استنتر قرار می گیرند.
- (۵) می نیم نمودن زمان شناوری سفارش ها
- (۶) می نیم نمودن دیر کرد در زمان تحويل سفارش به مشتری



شکل ۱: قسمت های اصلی یک کارگاه رنگرزی - چاپ - تکمیل

این اهداف اغلب در تضاد هستند. برای مثال، زمانبندی برای می نیم کردن زمان شناوری بعضی سفارش ها ممکن است به توالی از این سفارش ها منجر شود که دارای شرایط عملیاتی متفاوتی در استنتر هستند و این نیازمند زمان آماده سازی بیشتری (به منظور مطابقت نمودن دمای هر اتاقک استنتر با دمای دلخواه) برای سفارش ها است. در نتیجه، اضافه شدن زمان آماده سازی باعث تأخیر در عملیات استنتر نمودن سفارش های بعدی و افزایش زمان شناوری و تاخیر در تحويل سفارش ها می شود. به علاوه، تغییر دما در هر یک از اتاقک های استنتر از یک سفارش به سفارش بعدی در زمانبندی، با توجه به کیفیت محصول نهایی، فاکتور مهمی است. اگر دمای اتاقک به دمای مورد نظر نرسد، تاثیر منفی بر روی پارچه خواهد داشت که در نتیجه باعث پایین آمدن کیفیت و قیمت محصولات خواهد شد. همان تاثیر منفی باید برای قسمت های شستشو، سفیدگری و شستشوی مداوم که به طور معمول برای پارچه های چاپی و رنگی به کار گرفته می شوند، مورد نظر قرار گیرد. عدم وجود شباهت بین سفارش ها، یعنی پارچه های با اجزای متفاوت و پارچه های چاپی با کلاس های رنگی متفاوت، ممکن است باعث توقف ماشین در بین توالی، تخلیه های ماشین و بارگیری آن با مواد شیمیایی و همچنین مواد کمکی مورد احتیاج جدید و تاخیر ۲۰-۳۰ دقیقه در عملیات ها شود. این موارد به طور معمول بهرهوری را کاهش داده و باعث بعضی مشکلات در تصفیه های پساب می شود.

۳- مدلسازی سیستم فازی

در این تحقیق مدلسازی سیستم فازی چند ورودی یک خروجی (MISO) به کار برده می شود. ساختار MISO به صورت زیر است:

$$R^l : \text{IF } x_1 \text{ is } \tilde{A}_1^l \text{ and } x_2 \text{ is } \tilde{A}_2^l \text{ and } \dots x_n \text{ is } \tilde{A}_n^l, \text{ THEN } y^l \text{ is } \tilde{B}^k$$

که در آن، ($i = 1, 2, \dots, n$)، (i = امین قاعده فازی)، (R^l = i امین قاعده فازی)، (x_i = متغیرهای ورودی) و (y^l = متغیرهای خروجی قاعده فازی) R^l هستند، \tilde{A}_i^l مجموعه فازی تعریف شده در مجموعه مرجع X محدوده فیزیکی x_i و \tilde{B}^k فرم کوتاه شده "مربوط می باشد به" و "شبیه می باشد به" است [۷]. به منظور سادگی، فقط مورد MISO در نظر گرفته می شود، زیرا یک سیستم چند ورودی - چند خروجی همواره می تواند به مجموعه ای از سیستم های MISO تجزیه شود. مدلسازی سیستم فازی پیشنهادی شامل دو فاز مجزا به صورت زیر است:

۳-۱- فاز نخست: طراحی مبنا (شناسایی ساختار)

اغلب روش های معمول شناسایی ساختار بر مبنای تکنیک های خوشبندی فازی داده های ورودی - خروجی هستند. سوگنو و یاسوکاوا [۶] روشی جدید برای سیستم های با مقیاس بزرگ پیشنهاد کردند. در روش آن ها، داده های خروجی به منظور تعیین تعداد قواعد در سیستم MISO خوشبندی می شوند. سپس، فضای خروجی بر روی فضای ورودی به منظور تعیین مهمترین ورودی ها تصویر می شوند.

تولید قاعده از سه روال^۱ اصلی تشکیل شده: (۱) خوشبندی ورودی و خروجی، (۲) تعیین توابع عضویت ورودی و خروجی و (۳) سادهسازی قواعد

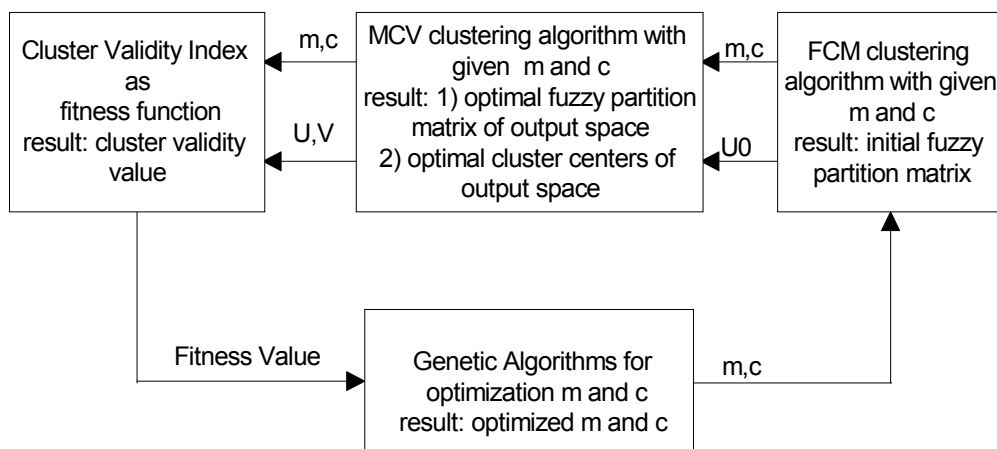
۱-۱-۳- خوشبندی ورودی و خروجی

دو زیررول در روال خوشبندی ورودی- خروجی وجود دارد:

(الف) تعیین تعداد بهینه خوشبندی (c)، میزان فازی بودن (m) و تشکیل توابع عضویت خروجی

(ب) انتخاب ورودی و تشکیل توابع عضویت متغیرهای ورودی

- (۱) مراحل تعیین تعداد بهینه خوشبندی و توان وزنی سیستم در شکل ۲ نشان داده می‌شوند. همان‌گونه که در شکل مشاهده می‌شود، الگوریتم c - Means رئیسی مقادیر تصادفی از m و c به عنوان تکیه‌ای از جمعیت اولیه تولید می‌کند. m و c تولید شده در الگوریتم خوشبندی فازی (FCM) به منظور تولید ماتریس تقسیم‌بندی فازی اولیه استفاده می‌شوند. الگوریتم حجم خوشة می‌نیمم (MCV^2) الگوریتم FCM را به عنوان اولیه بکار می‌برد. بنابراین این الگوریتم (۱) ماتریس تقسیم‌بندی فازی اولیه تولید شده بوسیله FCM و (۲) m و c تولید شده بوسیله GAs استفاده نموده و ماتریس تقسیم‌بندی فازی بهینه و بردار مراکز خوشه‌ها را ایجاد می‌کند. این ماتریس‌ها به اندیس اعتبارسنجی اصلاح شده فوکویاما- سوگنو (که در آن بردار میانگین داده‌ها با بردار میانگین تقسیم‌بندی فازی جایگزین می‌شود) [۸] به عنوان مقدار برآش معرفی می‌شوند. GA عملگرهای مخصوصش را برای تعیین مقادیر بهینه m و c به کار می‌برد.



شکل ۲: فاز ۱ - طراحی مبنا

- الگوریتم خوشبندی فازی حجم خوشة می‌نیمم Krishnapuram و کیم [۹] در مورد استفاده از معیار دترمینان (حجم) برای خوشبندی تحقیق و بررسی کردند. آن‌ها الگوریتمی را که الگوریتم حجم خوشه می‌نیمم (MCV) نامیده می‌شود و مجموع حجم خوشه‌های تکی را می‌نیمم می‌نماید، بدست آورند. آن‌ها ادعا کردند که الگوریتم پیشنهادی آن‌ها چند کاره‌تر و در کاربردهای متنوع وسیع‌تری قابل استفاده است و شکل خوشه‌ها تاثیر کمتری در K-means آن دارد. آن‌ها الگوریتم MCV را با الگوریتم‌های مختلفی مانند: گوستافسون- کسل [۱۰] (Gustafson- Kessel) و به عنوان اولیه‌ساز به کار برد و نشان دادند که الگوریتم FCM دارای کارآیی بهتری است.

در MCV تابع هدف با جمع کردن ابرحجم‌های تکیهای خوشه‌های فازی شده از رابطه زیر بدست می‌آید:

$$J_{fv}(B, U; X) = \sum_{i=1}^c |C_{fi}|^{1/2} \quad (1)$$

که در آن B بردار مراکز خوشها، U ماتریس تقسیم‌بندی فازی، X مجموعه داده‌ها، C تعداد خوشها و $|C_{fi}|$ دترمینان ماتریس کوواریانس است که:

$$C_{fi} = \frac{1}{\sum_{j=1}^n u_{ij}^m} \sum_{j=1}^n u_{ij}^m (x_j - c_i)(x_j - c_i)^T \quad (2)$$

ماتریس کوواریانس فازی خوشی A است، و در آن m میزان فازی بودن و n تعداد داده‌ها می‌باشد. بردار مراکز خوشها از رابطه‌ی زیر بدست می‌آید:

$$c_s = \frac{\sum_{j=1}^n u_{sj}^m}{\sum_{j=1}^n u_{sj}^m} \quad (3)$$

فاصله ماهالانبیس بین x_t و c_s به صورت زیر است:

$$MD_{st} = (x_t - c_s)^T C_{fs}^{-1} (x_t - c_s) \quad (4)$$

$$D_{st} = \frac{|C_{fs}|^{1/2} (MD_{st} - p)}{\sum_{j=1}^n u_{sj}^m} \quad (5) \quad 9$$

فرض می‌شود $\{k | MD_{kt} - p \leq 0, 1 \leq k \leq c\}$ است. $N_t = \arg \min_{1 \leq k \leq c} D_{kt}$ و $i_t = N_t = \{k | MD_{kt} - p \leq 0, 1 \leq k \leq c\}$ است. مجموعه‌ای از اندیس‌های خوش‌هایی که فاصله‌شان از نقطه x_t منفی است را مشخص می‌نماید و i_t نزدیکترین خوش به x_t را مشخص می‌نماید. معادله جدید برای c_s از $u_{st}, s = 1, \dots, n$ از رابطه‌ی زیر بدست می‌آید:

$$u_{st} = \begin{cases} \frac{(D_{st})^{1/(1-m)}}{\sum_{k=1}^c (D_{kt})^{1/(1-m)}}, & \text{if } N_t = \emptyset \\ 0 & \text{if } N_t \neq \emptyset \text{ and } s \neq i_t \\ 1 & \text{if } N_t \neq \emptyset \text{ and } s = i_t \end{cases} \quad (6)$$

- اندیس اعتبارسنجی خوش اصلاح شده فوکویاما-سوگنو سوگنو و یاسوکاوا معیار زیر را به عنوان اندیس اعتبارسنجی خوش معرفی می‌کنند:

$$S(c) = \sum_{k=1}^n \sum_{i=1}^c (\mu_{ik})^m (\|x_k - v_i\|^2 - \|v_i - \bar{x}\|^2) \quad (7)$$

که n تعداد داده‌ها، c تعداد خوشها، k امین داده، v_i برداری است که مرکز خوش A را تعریف می‌کند، $\|\cdot\|$ هر نوع نرم، درجه‌ای است که k امین داده به A امین خوش تعلق دارد و m درجه فازی بودن است. در این تحقیق اندیس اصلاح شده فوکویاما-سوگنوی معرفی شده در [۸] و [۱۱] را به عنوان اندیس اعتبارسنجی استفاده می‌کنیم، که در آن بردار میانگین داده‌ها \bar{x} با بردار میانگین تقسیم‌بندی فازی به صورت زیر جایگزین می‌شود:

$$\bar{x} = \frac{1}{\sum_{k=1}^n \sum_{i=1}^c (\mu_{ik})^m} \sum_{k=1}^n \sum_{i=1}^c (\mu_{ik})^m x_k \quad (8)$$

به علاوه تابع فاصله ماهالانبیس را به کار می‌بریم:

$$\left\{ \begin{array}{l} \|x_k - v_i\|^2 = \frac{|c_{fi}|^{1/2} (MD_{ik} - p)}{\sum_{k=1}^n (\mu_{ij})^m} \\ c_{fi} = \frac{1}{\sum_{k=1}^n (\mu_{ik})^m} \sum_{k=1}^n (\mu_{ik})^m (x_k - v_i)(x_k - v_i)^T \end{array} \right. \quad (9)$$

$$\left\{ \begin{array}{l} \|x_k - v_i\|^2 = \frac{|c_{fi}|^{1/2} (MD_{ik} - p)}{\sum_{k=1}^n (\mu_{ij})^m} \\ c_{fi} = \frac{1}{\sum_{k=1}^n (\mu_{ik})^m} \sum_{k=1}^n (\mu_{ik})^m (x_k - v_i)(x_k - v_i)^T \end{array} \right. \quad (10)$$

(II) مقادیر عضویت ورودی‌ها در دو زیرمرحله تعیین می‌شوند:

(I) ابتداء مقادیر تابع عضویت خروجی به فضای هر یک از متغیرهای ورودی تصویر می‌شود. تصویر کردن با روشی که بوسیله‌ی سوگنو و یاسوکاوا پیشنهاد شده است [ع] انجام می‌شود.

(II) سپس با توجه به روش پیشنهاد شده توسط فاضل زرندی (Fazel Zarandi) [۸] همان‌گونه‌که در شکل ۳ مشاهده می‌شود، محدوده‌هایی که در آن تابع عضویت متغیر ورودی مقدار ۱ را اختیار می‌کند مشخص کرده و داده‌ها را با مقدار m و C تعیین شده در مرحله قبل، به روشی که در این پژوهش استفاده شده و در زیر توضیح داده می‌شود، با استفاده از الگوریتم‌های ژنتیک کلاسیک کلاسه‌بندی^۱ می‌نماییم.

ابتدا فاصله‌ای را که تابع عضویت متغیر ورودی مقدار ۱ را می‌گیرد، مشخص کرده (یعنی، $\bar{V}_1 \bar{V}_2$ سپس الگوریتم‌های ژنتیک جهت‌هایی از مقادیر تصادفی V_1 و V_2 را عنوان تکی‌های جمعیت اولیه تولید می‌نماید. مقادیر اولیه بصورتی انتخاب می‌شوند که در محدوده $(\bar{V}_1 \bar{V}_2)$ قرار گیرند. این مقادیر به تابع هدف الگوریتم کلاسیک متناسب بازدید، به عنوان تابع برازش الگوریتم‌های ژنتیک که به صورت رابطه زیر تعریف می‌شود، منتقل می‌شود: (m و C بدست آمده از مرحله خوشه‌بندی متغیر خروجی در رابطه زیر استفاده می‌شود)

$$J(U^j, X_j) = \sum_{k=1}^n \sum_{i=1}^c (\mu_{ik}^j)^m \Delta(x_{jk}, \bar{V}_1 \bar{V}_2) \quad (11)$$

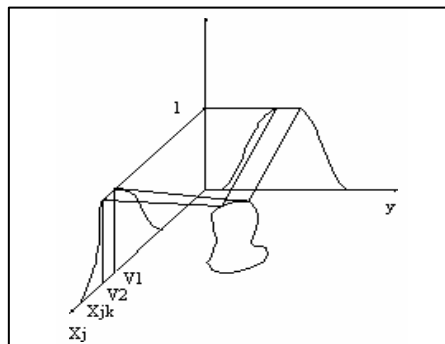
که در آن n : تعداد داده‌ها، c : تعداد خوشه‌ها، X_j و U^j به ترتیب مجموعه داده‌های ورودی Z ام و ماتریس تقسیم‌بندی آنها و Δ تابع فاصله است که از رابطه زیر بدست می‌آید:

$$\Delta(x_{jk}, \bar{V}_1 \bar{V}_2) = \begin{cases} V_1 - x_{jk} & \text{if } x_{jk} < V_1 \\ 0 & \text{if } V_1 < x_{jk} \leq V_2 \\ x_{jk} - V_2 & \text{if } x_{jk} > V_2 \end{cases} \quad (12)$$

مقدار بدست آمده از رابطه ۱۱ به عنوان مقدار برازش به الگوریتم ژنتیک معرفی می‌شود. الگوریتم‌های ژنتیک نیز عملگرهای مخصوصش را برای انتخاب مقدار بهینه‌ی V_1 و V_2 به کار می‌برد. حال، ماتریس U^j از رابطه‌ی زیر بدست می‌آید:

$$1 \leq k \leq N \quad 1 \leq i \leq c, \quad \text{for} \quad \mu_{ik}^j = \frac{1}{\sum_{l=1}^c (\Delta_{ik}^j / \Delta_{lk}^j)^{2/(m-1)}} \quad (13)$$

^۱classification


شکل ۳. تصویر خروجی بر روی فضای ورودی

۴-۱-۲- تعیین توابع عضویت متغیرهای ورودی و خروجی

برای متغیرهای ورودی و خروجی، الگوریتم تطبیق منحنی، بهمنظور ایجاد تابع عضویت هر خوش که ارتباط بین ورودی‌ها و خروجی‌ها را نشان می‌دهد، بکاربرده می‌شود. در اینجا اطلاعات نمودار پراکنش بدست آمده از ۴-۱-۱ استفاده می‌شود.

۴-۲-۲- فاز دو- تطبیق

این فاز با بکاربردن روشی استدلال تقریبی انجام می‌شود. در این تحقیق، استدلال تقریبی بر مبنای استنتاج پارامتری شده است. چهار پارامتر در مرحله استنتاج وجود دارد، (۱) نوع t -نرم برای ارتباط "AND" مقدمه، یعنی خوشکهای متغیرهای ورودی و پارامتر مربوط به آن یعنی P ، (۲) نوع S -نرم رابط "IMPLICATION" و پارامتر مربوط به آن یعنی Q ، (۳) پارامتر β برای ترکیب خطی دو روش استدلال که ممدانی (Mamdani) و منطقی (Logical) هستند و (۴) پارامتر α برای توان روش غیر فازی نمودن عمومی شده.

پیشنهاد شده که فرمول‌های روش‌های استدلال منطقی و ممدانی با پارامتر β ترکیب شوند [۵] بهصورتی که:

$$\mu_F(y) = \beta \mu_{Fm}(y) + (1 - \beta) \mu_{Fl}(y) \quad (۱۴)$$

که، (y) روش استدلال ممدانی و (y) روش استدلال منطقی است. در اینجا اگر $1 > \beta > 0$ سیستم رفتار روش ممدانی را دارد و هنگامی که $\rightarrow 0$ رفتار سیستم روش منطقی است.

یگر و فیلو [۱۲] (Yager, Filev) یک روش غیرفازی نمودن عمومی را که روش توزیع غیرفازی نمودن پایه (BADD^۱) نامیده می‌شود،

پیشنهاد می‌کنند:

$$y^* = \int_{y_0}^{y_1} y (\mu_F(y))^\alpha dy / \int_{y_0}^{y_1} (\mu_F(y))^\alpha dy \quad 1 < \alpha < \infty \quad (۱۵)$$

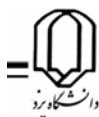
۴-۲-۳- بهینه نمودن پارامترها

بهینه‌نمودن پارامترهای ذکر شده در بالا با داده‌های ورودی- خروجی آموزشی از طریق روش یادگیری با نظارت و با استفاده از الگوریتم ژنتیک انجام می‌شود. ریشه‌ی میانگین مربع خطأ (RMSE) به عنوانتابع برآنش استفاده می‌شود، که از رابطه زیر بدست می‌آید:

$$RMSE(y_a, y_m) = \frac{\|y_m - y_a\|}{(n)^{1/2}} \quad (۱۶)$$

که y_a مقدار خروجی واقعی، و y_m مقدار محاسبه شده از مدل برای k امین بردار داده‌های مشاهده شده نمونه N تعداد داده‌ها بوده و $y_m = (x_{1m}, x_{2m}, \dots, x_{rm}, y_m)$ از رابطه زیر بدست می‌آید:

^۱Basic Defuzzification Distribution



$$\|y_m - y_a\| = \left[\sum_{i=1}^n (y_{mi} - y_{ai})^2 \right]^{(1/2)} \quad (17)$$

۴- مدلسازی فازی سیستم زمانبندی کارگاه رنگرزی- چاپ- تکمیل با استفاده از الگوریتم ژنتیک

بر مبنای مصاحبه‌های متعدد با متخصصین، به این توافق رسیدیم که پیش‌بینی زمان شناوری سفارش‌های مشتری‌ها مورد بسیار مهمی است. همچنین بر مبنای بحث‌های طولانی با متخصصین، مهمترین متغیرهایی که بر روی زمان شناوری تاثیر می‌گذارند عبارتند از:

- (الف) نوع پارچه (که شامل نوع نخ تار و پود و دیگر مشخصات پارچه است)،
- (ب) نوع فرآیند (رنگرزی، چاپ و غیره)،
- (ج) عرض سفارش،
- (د) وزن (g/m^2) سفارش،
- (ه) تعداد فرآیندهای سفارش،
- (و) ماکریم سرعت فرآیندها،
- (ز) می‌نیمم سرعت فرآیندها،
- (خ) میانگین سرعت فرآیندها و
- (ط) اولویت. خروجی سیستم زمان شناوری است که باید می‌نیمم شود.

بردار داده به عنوان داده‌های ورودی- خروجی آموزشی به کار بردهایم. برای سادگی در اجرای مراحل مدلسازی، محدوده‌های متفاوتی برای سیستم مانند زیر اختصاص داده شدند:

(۱) پارامتر نوع پارچه: اعداد صحیحی در محدوده ۱-۸، که نشان می‌دهد هشت نوع پارچه در این کارگاه وجود دارد.

(۲) پارامتر نوع فرآیند: اعداد صحیحی در محدوده $100-100^3$ ، که نشان دهنده پارچه سفید تکمیل شده، پارچه چاپ شده و پارچه رنگ شده است.

(۳) پارامتر اولویت: اعداد صحیحی در محدوده ۱-۱۰، که نشان دهنده اولویت خیلی کم (۱-۲)، کم (۳-۵)، متوسط (۵-۷) و خیلی زیاد (۷-۹) است.

سپس مراحل مدلسازی توضیح داده شده در بخش ۲ را انجام می‌دهیم.

۴-۱- تعیین مقادیر بهینه m و c

برای تعیین مقادیر بهینه m و c ، محدوده‌های متفاوتی از این دو پارامتر را در الگوریتم ژنتیک اعمال نموده و اندیس اعتبارسنجی خوش را محاسبه می‌نماییم. نتایج در جدول ۱ آورده شده است. بر مبنای این جدول، اندیس اعتبارسنجی خوش می‌نیمم مقدار را برای $m=4.47$ و $c=12$ را اختیار کرده‌است. بنابراین تعداد بهینه خوش‌های متغیر خروجی ۱۲ عدد است. درنتیجه، تعداد قواعد مدل سیستم فازی ۱۲ عدد است. خصوصیات در جدول ۲ نشان داده شده است.

۴-۲- تعیین توابع عضویت متغیر خروجی

هر سطر از ماتریس تقسیم‌بندی بهینه L ، که از الگوریتم خوش‌بندی بدست می‌آید، مقدار عضویت داده‌های خروجی در هر خوش را تعیین می‌کند. بر مرتب نمودن داده‌ها و کشیدن منحنی مقدار داده‌ها در مقابل مقدار عضویت داده‌ها در هر خوش، نوع و شکل توابع عضویت متغیر خروجی بدست می‌آیند. شکل ۴ توابع عضویت مثلى بدست آمده برای متغیر خروجی را شان می‌دهد.

جدول ۱. مقادیر اندیس اعتبارسنجی خوشی مربوط به مقادیر بهینه m و c

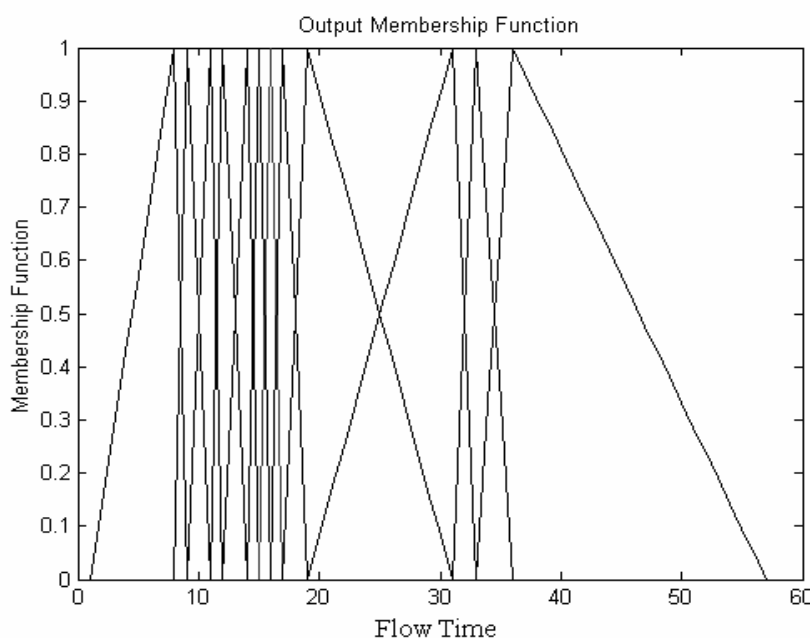
Range of c	Range of m	C	m	Cluster validity index
2-15	1-8	9	7.56	-8.0910e-014
2-18	1-8	12	7.62	-8.05524e-014
2-20	1-8	8	4.47	-8.3651e-014
2-21	1-8	21	7.78	-7.1440e-014
2-22	1-8	16	5.93	-6.8396e-014
2-24	1-8	12	4.47	-1.1519e-013
2-25	1-8	20	7.02	-1.0378e-013
2-30	1-8	18	5.61	-6.8169e-014
2-35	1-8	25	6.37	-7.3649e-014
2-38	1-8	11	8.00	-8.7132e-014
2-40	1-8	11	6.26	-8.0286e-014

جدول ۲. مشخصات GAs

Characteristic	Type and Value
Generation Number	30
Population Size	31
Type of Selection Operator	Tournament selection and size of tournament is equal to two
Crossover Rate	0.8
Number of Crossover Points	2
Mutation Rate	0.008

۴-۳- تعیین توابع عضویت متغیرهای ورودی

فاصله $[V_1, V_2]$ با تصویر کردن تابع عضویت متغیر خروجی بر روی فضای هر متغیر ورودی بدست می‌آید. سپس مقادیر بهینه‌ی V_1 و V_2 با بکاربردن GAs بدست می‌آیند. در این‌جا، مشخصات GAs مانند مرحله‌ی قبل است و اندازه‌ی جمعیت آن ۶۱ است. سپس، برای بهبود ماتریس تقسیم‌بندی بهینه‌ی L ، $\bar{V}_1 \bar{V}_2$ به الگوریتم کلاسه‌یندی معرفی می‌شود. بنابراین، با بکاربردن مرحله‌ی که در زیر بخش ۳-۴ بیان شدند، تابع عضویت متغیرهای ورودی ایجاد می‌شوند. جدول ۳ مقادیر $\bar{V}_1 \bar{V}_2$ و مقادیر بهینه‌ی مربوط به آنها و تابع عضویت بدست آمده برای متغیر سرعت می‌نیم را نشان می‌دهد.


شکل ۴. توابع عضویت متغیر خروجی

۴-۴- استدلال تقریبی

الگوریتم ژنتیک میکرو [۱۳] را برای استدلال تقریبی بکار می‌بریم. در این‌جا t -نرم و S -نرم شوایزر-اسکالار (Schweizer- Sclar) و یگر (Yager) بکار برده می‌شوند. مقادیر بهینه‌ی پارامترهای مدل در جدول ۴ نشان داده شده‌اند.

۴-۵- ساده‌سازی قواعد

باتوجه به این حقیقت که بعضی از توابع عضویت متغیرهای ورودی شبیه به مجموعه مرجع هستند که تاثیری بر قواعد نمی‌گذارند، بنابراین، این توابع عضویت از پایگاه قواعد حذف شده‌اند. شکل ۵ توابع عضویت ورودی- خروجی را در قواعد نشان می‌دهد. به منظور بهینه نمودن مدل توابع عضویت گوشین را به جای توابع عضویت مثلثی به کار می‌بریم.

۵- مقایسه با خوشبندی کاهشی

به منظور اعتبارسنجی مدل‌سازی سیستم فازی پیشنهادی، همان مجموعه داده را با مدل‌سازی سیستم فازی از نوع سوگنو که الگوریتم خوشبندی کاهشی را در رویه‌ی شناسایی ساختارش بکار می‌برد، مدل می‌نماییم. قواعد تولید شده با بکار بردن این مدل در شکل ۶ نشان داده شده‌اند. با توجه به مقادیر جدول ۵ مشاهده می‌شود که تعداد قواعد در روش پیشنهادی کمتر از روش کاهشی است. به علاوه، RMSE روش پیشنهادی هم برای مجموعه داده‌های ورودی- خروجی آموزشی و هم برای کنترلی کمتر است.

جدول ۳. مقادیر $\bar{V}_1\bar{V}_2$ ، مقادیر بهینه‌اش و تابع عضویت بدست آمده برای پارامتر سرعت می‌نیم

Fuzzy Set	$\bar{V}_1\bar{V}_2$	Optimal Value $\bar{V}_1\bar{V}_2$ of	Membership Function	Optimal Mmbership Function
1	20-45	37-45	trimf (45,45,45)	gaussmf (0.4,44.5)
2	20-35	28-30	trapmf (27,28,30,34)	gaussmf (2.4,29.1)
3	20-35	20-35	trapmf (18,20,35,45)	gaussmf (10,27.9)
4	20-35	27-35	trapmf (25,27,35,45)	gaussmf (7.3,31.4)
5	20-35	20-35	trapmf (18,20,35,45)	gaussmf (10.3,28)
6	30-35	30-35	trapmf (28,30,35,45)	gaussmf (6,32.9)
7	20-35	28-35	trapmf (27,28,35,45)	gaussmf (6.8,31.9)
8	30-45	39-45	trimf (35,45,45)	gaussmf (0.4,44.5)
9	25-35	29-35	trapmf (28,30,35,45)	gaussmf (6,32.9)
10	15-30	15-26	trapmf (15,15,25,27)	gaussmf (5,20.1)
11	18-30	18-25	trapmf (17,18,25,27)	gaussmf (3.7,21.5)
12	25-34	29-30	trimf (28,30,34)	gaussmf (1.6,30)

trimf= triangular membership function

trapmf= trapezoidal membership function

gaussmf= gaussian membership function

۶- بحث و کارهای آینده

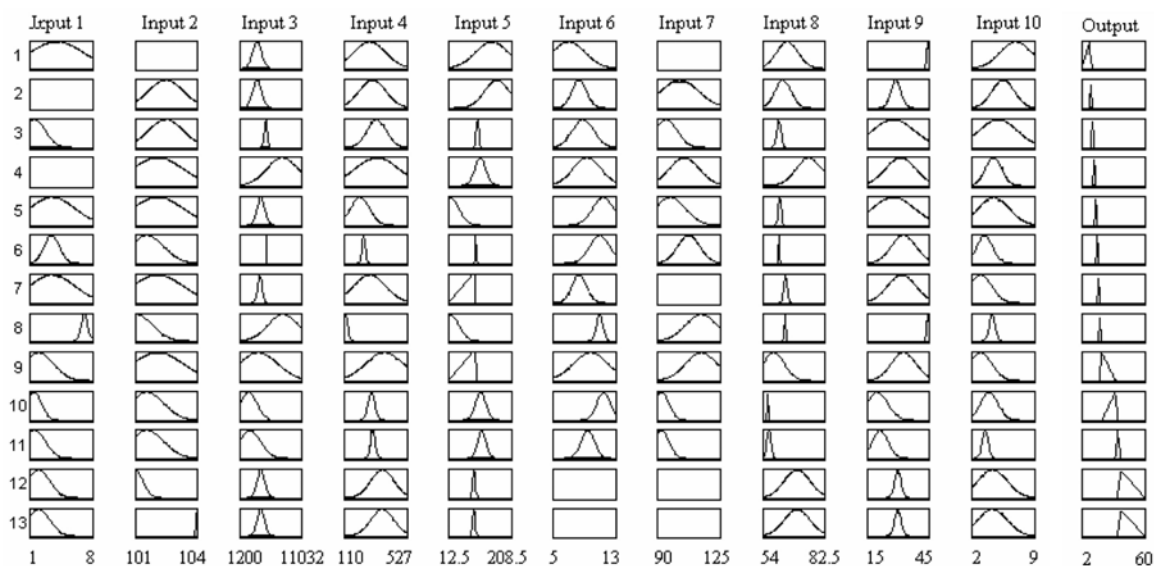
در این تحقیق، تجزیه تحلیل سیستم زمانبندی صنعت نساجی با استفاده از روش مدل‌سازی سیستم فازی پیشنهادی، را انجام داده‌ایم. تجزیه تحلیل خوشبندی داده‌های خروجی (زمان شناوری) با ماتریس کوواریانس تعداد خوشه (c) برابر با ۱۲ و میزان فازی بودن برابر با ۰.۴۷ را نتیجه می‌دهد. الگوریتم ژنتیک را برای بهینه‌نمودن m و C بکار بردیم. مهم‌ترین متغیرها با تصویرکردن فضای خروجی بر روی فضای ورودی با روش انتخاب متغیر پیشنهادی انتخاب شده‌اند. سپس قواعد تطبیق شده‌اند و پارامترهای بهینه‌ی عملگرهای استدلال تقریبی با استفاده از الگوریتم ژنتیک بدست آورده شده‌اند. چنین سیستمی می‌تواند برای پیش‌بینی زمان شناوری سفارش‌ها، هنگامی که این سفارش‌ها تحت قواعد فعلی فرآیند می‌شوند، بکاربرد شود. با مقایسه روش پیشنهادی با روش خوشبندی کاهشی، برتری مدل را از لحاظ پیچیدگی (تعداد قواعد) و میزان خطای سیستم نشان می‌دهیم. کارهای آتی می‌توان برای این تحقیق انجام داد. در این تحقیق یک معیار جهت تابع هدف در نظر گرفته شده است. در آینده یک سیستم خبره چند معیاره را برای زمانبندی صنایع نساجی توسعه خواهیم داد. به علاوه، انتخاب اتوماتیک نرم از دیگر کارهای آینده برای رویه خوشبندی است.

جدول ۴. مقادیر بهینه‌ی نوع s -نرم، t -نرم، p ، q ، β و α برای مدل ایجاد شده با الگوریتم ژنتیک فازی

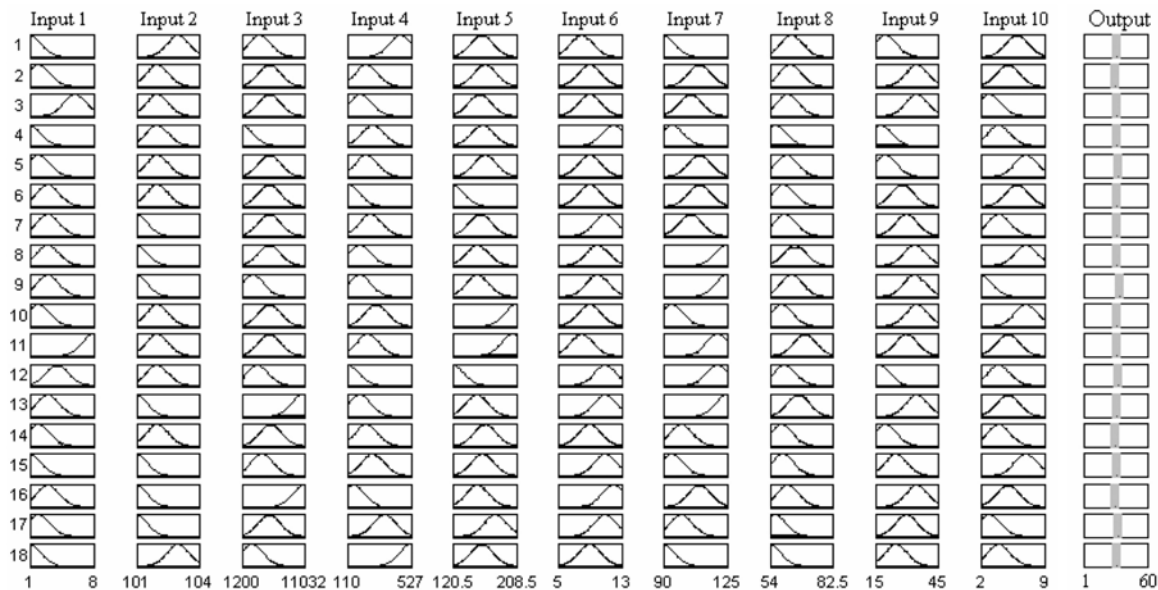
Parameter	Type of t-norm & s-norm class	p	q	β	α
Type and range of parameter	Yager and Schweizer-Sclar	0.1-100	0.1-100	0.01-0.99	1.1-100
Optimal value	Schweizer-Sclar	82	76	0.34	3.7

جدول ۵. مقایسه بین الگوریتم ژنتیک فازی و روش خوشبندی کاهاشی

method data	Training data	Checking data
Genetic fuzzy algorithms	1.5	2.1
Sbtractive clustering	2.7	3.5



شکل ۵. قواعد تولید شده با پدکار بردن روش الگوریتم ژنتیک پیشنهادی



شکل ۶. قواعد تولید شده با پدکار بردن روش خوشبندی کاهاشی



References

- [1] Karacapilidis, N.I., Pappis, C.P., " Production Planning and Control in Textile Industry: A Case Study", Computers in Industry, Vol. 30, pp. 127-144, 1996.
- [2] Elmaghraby, S.E., Karnoub, R.E., " Production Control in Hybrid flowshops: An Example from Textile Manufacturing", in " The Planning and Scheduling of Production Systems" book, pp. 163-198, Chapman & Hall, New York, 2000.
- [3] Gupta J.D., " Two-stage Hybrid Flowshop Scheduling Problem", Journal of Operational research Society, Vol. 39, No. 4, pp. 359-364.
- [4] Esmaeilian, M., " Scheduling of Textile Industry Using Fuzzy Genetic Algorithms", M.Sc Thesis, 2001.
- [5] Turksen, I.B., Fazel Zarandi, M.H., Dudzic, M., " Caster Scheduling System Analysis with Fuzzy Technology", in " Scheduling Under Fuzziness", book, pp. 3-22, Springer-Verlag, New York, 2000.
- [6] Sugeno, M., Yasukawa, T., " A Fuzzy-Logic-Based Approach to Qualitative Modeling", IEEE Trans. on Fuzzy Systems, vol. 1, no. 1, pp. 7-31, 1993.
- [7] Turksen, I.B., Fazel Zarandi, M.H., " Production Planning and Scheduling: Fuzzy and Crisp Approaches", in "Practical Application of Fuzzy Technology", H. J., Zimmermann (ed.), pp. 479-529, 1999.
- [8] Fazel Zarandi, M.H., "Aggregate System Analysis for Prediction of Tardiness and Mixed Zones of Continuous Casting with Fuzzy Methodology", Ph.D. Thesis, 1998.
- [9] Krishnapuram, R., Kim, J., " Clustering Algorithms Based on Volume Criteria", IEEE Trans. on Fuzzy Systems, vol. 8, no. 2, pp. 228-236, 2000.
- [10] Gustafson, E.E., Kessel, W.C., " Fuzzy Clustering with a Fuzzy Covariance Matrix", IEEE CDC, San Diego, California, pp. 761-766, 1979.
- [11] Dumitrescu, D., Lazzerini, B., Jain, L.C., " Fuzzy Sets and Their Application to Clustering and Training", CRC Press LLC, New York, 2000.
- [12] Yager, R.R., Filev, D.P., " Essential of Fuzzy Modeling and Control", John Wiley and Sons, 1994.
- [13] Krishnakumar, K., " Micro-Genetic Algorithms for Stationary and Nonstationary Function Optimization", Proceedings of the SPIE's Intelligent Control and Adaptive Conference, pp. 289-296, 1989.